

反射速调管

納烏敏科編

李傳信潛合譯

張克

人民邮电出版社

反 射 速 調 管

納烏敏科 編
李傳信 合譯
張克潛

人民郵電出版社

OTRÀЖATEЛЬНЫЕ
КЛИСТРОНЫ
ПЕРЕВОД С АНГЛИЙСКОГО
ПОД РЕДАКЦИЕЙ
Е. Д. НАУМЕНКО
СОВЕТСКОЕ РАДИО 1954
МОСКВА

內 容 提 要

本書共分七章，專門討論反射速調管，主要內容是有关反射速調管的一般介紹，速調管元件，電子滯後現象的研究，負載影响及調制与噪声等，最后介紹反射速調管的实际应用与結構。这本书是“速調管”一書的繼續，适合大学無綫电系师生参考，也适合从事超高頻無綫电的工程师及研究人員参考閱讀。

反 射 速 調 管

編 者：納 烏 敏 科

譯 者：李 傳 信 張 潤 合 譯

出版者：人 民 邮 电 出 版 社

北京东四 6 条 13 号

(北京市書刊出版業營業許可證字第 C 四八零)

印 刷 者：北 京 市 印 刷 一 厂

發 行 者：新 华 書 店

开本850×1168 mm 1958年9月北京第一版

印数7種頁數126 1958年9月北京第一次印刷

印制字數212,000字 統一書號：15045·总785—集204

印數1—2100册 定价：(10)1.35元

目 录

第一章 反射速調管導論	1
1. 一般特性	1
2. 反射速調管的高型振盪理論	8
3. 反射速調管的實驗特性	20
4. 理論与實驗的定量比較	23
5. 理想速調管的詳密理論	27
第二章 非理想的反射極	44
1. 电子光学問題	45
2. 电子光学系統的同比定律	46
3. 振盪區域曲綫	49
4. 以 $(U_{0rp}; \lambda)$ 为坐标的振盪區域曲綫	55
5. 無空間电荷时凹形反射極的划一特性曲綫	58
6. 在平行平面反射空間, 空間电荷对电子渡越時間的影响	60
7. 反射空間電場对电子羣聚的影响	67
8. 渡越時間对有效羣聚時間的关系	68
9. 羣聚与空間电荷	75
10. 有相位畸变的反射場	76
11. 相位畸变与反射場非線性的比較	77
第三章 电子滯后現象	78
1. 滯后現象	78
2. 在低型振盪时由于 G_e 随 φ 变化而引起的振盪區域不对称	79
3. 在相位移与 θ_0 無关时, 由于相位移对隙縫交流电压有关所引起的滯后	81
4. 电子的多次渡越与羣聚理論	87
5. 多次渡越电子引起的滯后	91
第四章 負載对于反射速調管工作的影响	98
1. 緒言	98
2. 冷量測的原理	100
3. 冷量測的方法	103
4. 工作情況; 理想負載圖	108

5. 轉變成實際負載圖	116
6. 實驗的負載圖	128
7. 高 Q 負載的影響	131
第五章 反射速調管的調制	137
1. 調制的形式	137
2. 用低頻調制時的靜態特性	138
3. 应用靜態特性的限制，調制理論中的似穩近似法	140
4. 在小信號的情況下調制的描述	142
5. 在隙縫間電壓有調制（過渡過程）存在時的羣聚作用	145
6. 振盪器參量的一次調制效應	149
7. 隨時間緩慢變化的高頻電流激勵諧振腔	152
8. 過渡過程，振盪的建立	155
9. 用正弦波調制時的普遍關係式	160
10. 電子流和反射空間渡越時間的低頻調制	163
11. 用與 ω 可比擬的頻率調制 G_e 與 θ_0	167
第六章 反射速調管的噪聲	167
1. 振盪器噪聲的作用	167
2. 量測方法	168
3. 振盪器的總噪聲	171
4. 分離邊頻帶	173
5. 噪聲與負載的關係	175
6. 噪聲量測結果的總結和噪聲值的估計	177
7. 一些更複雜的效應的研究	181
8. 噪聲值的計算	184
9. 反射速調管的噪聲理論	189
第七章 實際應用的反射速調管的結構	197
1. 緒言	197
2. 調管諧振腔的結構	199
3. 調諧方法	202
4. 能量輸出端	206
5. 對於本地振盪器用速調管的要求	207
6. 各種型式的反射速調管	209

第一章 反射速調管導論

反射速調管是具有單諧振腔、利用電子羣聚的原理得到高頻振盪的一種高頻電子器件。從陰極出發的電子流在電子槍部分內加速到几百伏左右（參看圖 I·1）。在電子流穿過諧振腔隙縫後進入反射空間。在這裡電子在拒斥場作用下被逐漸減速並且返回再穿過隙縫。即在拒斥場空間進行羣聚。

1. 一般特性

如在隙縫上有高頻電場，則電子流由於第一次渡越隙縫的結果在離開隙縫時得到了速度調制。由此，在經過反射返回到隙縫時電子流中便有了交變密度分量。密度變化的程度決定於反射空間的性質和起始速度調制的程度。在第二次渡越時，電子流和隙縫電場相互作用。如果電子流交流分量和隙縫上高頻電壓的相位適合時，電子流將給諧振腔能量。如果這一能量足夠抵償損耗及負載，便可保持穩定振盪。振盪頻率將在諧振腔主型振盪頻率的附近，與主型振盪頻率差異的程度決定於諧振腔的性質及電子導納的電納部分，而後者又決定於反射電子流交變分量的相位。

最佳相位 最佳相位決定於下述條件，即在反射電子流中，電

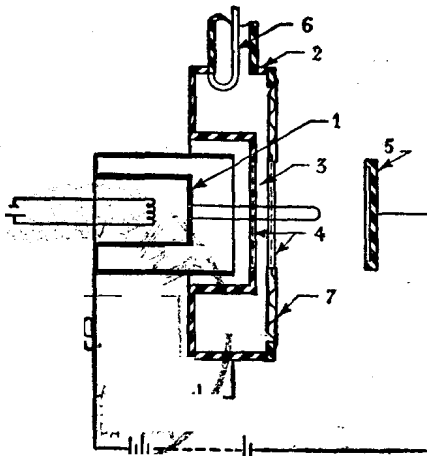


圖 I·1 反射速調管示意圖
1. 陰極，2. 諧振腔，3. 工作隙縫，4. 櫃，5. 反射極，6. 能量輸出線，7. 調諧膜片。

子羣聚的中心在隙縫電場有最大拒斥作用時穿過隙縫，因為在這一條件下，最大數目的電子在穿過隙縫時失去最多的動量，故可從電子流中取出最多的能力。

在第二次渡越中，作為羣聚叢中心的電子是在第一次渡越中，當電場是由加速場變為拒斥場時穿過隙縫的電子。我們來研究在這一電子前後短的時間內（週期的一小部分）穿過隙縫的電子羣。較快的電子進入反射空間較深，因此比之較慢的電子返回所需的时间要長些。當反射空間為恆定場時，電子返回（隙縫）的時間是與其射入反射空間的速度成比例的。因此，如果在這一羣電子中，較早出發的電子是較快的電子（如果在第一次穿過時，先過的是受到加速的，而後過的是被減速的，這假定就正確），這一條件就正合於形成電子羣的需要，羣聚的中心就是那些穿過隙縫時速度不受影響的電子。

返回相位的最佳值決定於下述情況，即在隙間電場給予返回電子最大拒斥作用時，使羣聚叢的中心通過隙縫。既然羣聚中心第一次渡越時是電場由加速度變為拒斥的這一瞬間，那麼電場只少要再過二分之一週期才開始對返回電子有拒斥作用，而拒斥作用的最大值則將在再過0.75週期時發生。此後最大拒斥作用將發生在第一次渡越隙縫後的1.75, 2.75等週期時。這樣，最佳相角為 $\theta_n = 2\pi(n + 0.75)$ ，其中 $n = 0, 1, 2, 3, \dots$ 。

可能的振盪型 在最佳相位值附近的振盪決定於反射速調管可能的振盪型。不同的型以 n 的值來區別， n 為整週期數，再加0.75便是最佳相位。

變更反射極的電位可以改變羣聚電子流與隙縫電壓的相對相位。變更反射極電壓就改變了電子在反射場中所消耗的平均時間。因此，從一型變到另一型是很簡單的，只要變更反射極電壓便可。有一系列的不連續的反射極電壓之值，對於一系列的最佳相位之值，並且反射極的負電壓愈小，對應的 n 愈大。自然，管子的結構使實際能獲得的相位值受到限制。例如，到反射極的距離就成為具

有一定初速的电子在其中所消耗的全部時間的上限。

小振幅 起始的振盪由噪声起伏所产生，噪声起伏在电子流中和在隙縫电压中是永远存在的。振盪建立的特性决定于所加的电場的特点。在理想情况下，电子羣返回的与隙縫电压的相对相位和隙縫电压的振幅沒有任何显著的关系。因此，如果不变更直流电压，当振盪建立时，相位关系差不多沒有变化。

为了簡化討論，假設隙縫渡越角很小，以致可以忽略。在縫間渡越角可忽略时，羣聚参数为

$$X = \frac{\theta U}{2U_0}$$

在振盪开始时，由于隙縫电压的振幅值 U 和加速电压 U_0 相比很小，羣聚参数差不多为零。 X 随着振盪的增長而增大，一直到达稳定值为止。

第一次渡越隙縫时，由于隙縫电压作用而产生的速度調制的振幅值等于电子平均速度 v_0 乘以因子 $\frac{U}{2U_0}$ 。如果加速調制非常小，羣聚电子流的振幅就等于速度調制的振幅值与平均电荷密度和 $-j\theta e^{-j\theta}$ 之乘积，如在双腔速調管中的情形一样。这个电流可用来决定在小訊号时的电子导納。它等于

$$Y_e \approx \frac{G_0}{2} j\theta e^{-j\theta} \quad (1)$$

这里 G_0 为在隙縫的电子流电导。如果將 θ 看作一个从零开始的參量，那么由(1)式 Y_e 在复数平面上的軌跡为一螺旋綫，如圖 I·2 所示。这一螺旋綫在原点的斜率为無限大，而且順時針方向旋轉。它在 $\theta_n = 2\pi \left(n + \frac{3}{4}\right)$ 时 ($n = 0, 1, 2, \dots$) 与负实軸相交。此时电子导納为純負电导。

羣聚参数 如果隙縫电压增加，则 X 增大，而羣聚过程也变得复杂化。如已經指出的，相角通常沒有变化。从羣聚理論中知道，对电子导納的作用决定于因子 $\frac{2J_1(X)}{X}$ 。这一因子在 $X = 0$ 时等于 1，

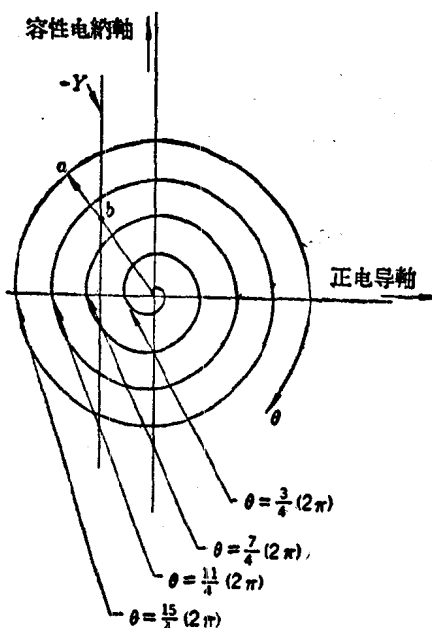


圖 I·2 小訊號時的電子導納

數，那麼它在導納平面上的軌跡將是和實軸在 G 點相交的一條垂直線。

穩定振盪的條件可表示為導納之和等於零，即

$$Y + Y_r = 0$$

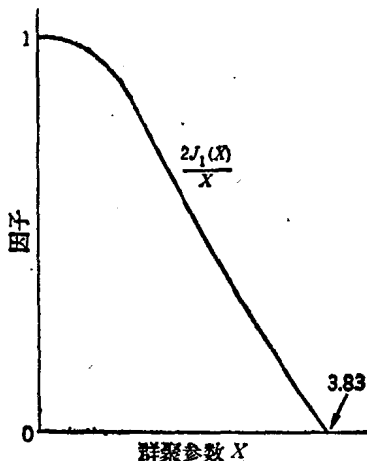
這一關係立即給出了上述縮短過程應該停止的點。在圖 I·2 上導納 $(-Y)$ 為垂直線。當電子導納的起始值（相當於圖上的 a 點）沿矢量半徑向坐標原點移動到與 b 點相重合時（ b 點是這一矢量半徑與 $-Y$ 直線的相交點），

而在 $X = 3.83$ 時降至零（圖 I·3）。從此得出，在電子導納的螺旋線上表示很小振幅的點，在振盪建立時將沿矢量半徑向原點移動。矢量半徑縮短的值由圖 I·3 上 X 的函數的曲線決定。振盪的起始建立過程將在第五章第 8 节中討論。

穩定振盪 諧振腔和負載可表示為電導 G 與電納 $2jC(\omega - \omega_0)$ 在有效諧振角頻率 ω_0 時它等於零。這樣在隙縫處回路的總導納等於

$$Y = G + 2jC(\omega - \omega_0)$$

將回路總導納看作 ω 的函

圖 I·3 因子 $\frac{2J_1(X)}{X}$ 的曲線

穩態振盪條件便得到滿足。在 b 點即建立了穩態振盪。

只有當螺旋綫上的起始點位於回路恆定電導值的直綫的左方時，上述過程才能發生，否則矢量半徑與此綫不相交，亦只有當導納的值是在此綫左方時才能得到穩態振盪。因此在可能的振盪型中只有這些振盪型才能產生，即在最佳相位時其小振幅的電子導納比回路電導大。在電子流電導值和回路的電導值給定時，在一系列的振盪型中有一個型的 n 值最小，這 n 是對應於此二曲綫的第一次相交點的，此後的 n 都可建立穩定振盪。

點 b 不僅決定隙縫電壓的值（這是由圖 I·3 上對 X 的關係決定的），而且還在給定線路所需的電納以後，決定振盪的頻率。只有當點 a ，因此也即當點 b 位於實軸時振盪頻率才等於諧振頻率 ω_0 。否則就將和 ω_0 不同，相差多少視 C 、 G_0 、與 θ 不同而異。如在 n 次型振盪時， θ 大於 $2\pi\left(n + \frac{3}{4}\right)$ ，振盪頻率就小於 ω_0 ，如 θ 小於 $2\pi\left(n + \frac{3}{4}\right)$ 則振盪頻率大於 ω_0 。

電子調諧 速調管在電子調諧時的情況，其性質可由螺旋綫圖上看到。如點 a 位於實軸的負向并在回路恒定電導綫的左方，則 b 點也在實軸上，管子則在相應振盪型的中心點振盪。如果使反射極電壓的負值降低一些， θ 就要增加， a 點沿螺旋綫順時針方向往上移，而點 b 沿垂直綫上升。同時振盪頻率降低，但其降低的程度並不夠到足以使頻率與在反射空間的渡越時間的乘積有顯著的減小。當 ab 兩點相遇時，縫上電壓降至零，振盪即行停止。因此垂直綫與對應於 n 次型振盪的螺旋綫部分相交的兩點決定了振盪的界限和電子調諧的頻帶。振盪型愈高，這兩個極限點之間的距離愈大，調諧的頻帶愈寬。在一定的振盪型時，在頻帶中心隨反射極電壓的變化在大的負載時變化比小負載時快，因為大負載時點 b 更靠近 a （圖 I·4）。

由於螺旋綫高於和低於中心點的兩部分並非對稱，電子調諧的曲綫也不完全對稱，而且在低型時不對稱會顯著。其他不對稱的原

因以后將在本章及下一章加以討論。

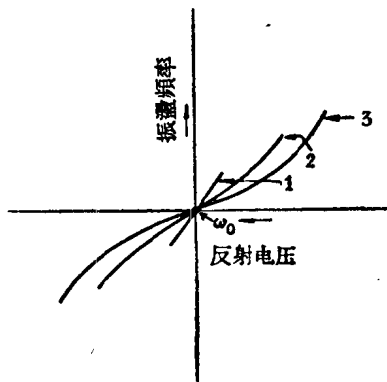


圖 1.4 在一定的振盪型不同負載時的電子調諧曲線

1.2 与 3一大，中，小負載

振盪功率 隙縫中的高頻電流與隙縫電壓的關係決定於因子 $J_1(X)$ ，它的最大值對所有振盪型是相同的，並且在第一個最大值即在 $X = 1.84$ 時出現。因為 $X = \frac{\theta U}{2 U_0}$ ，振盪型越高 θ 值愈大，因此在高型振盪時， $J_1(X)$ 的最大值是在較小的縫間電壓時得到。由此可預料，在較高的振盪型時，高頻功率的最大值將較小，因為電流最大值是在電壓值較小時得到的。更準確地說，功率與 $\frac{X J_1(X)}{\theta}$ 成比例；因此，由一振盪型變到另一型時功率將按 $\left(\frac{1}{n + \frac{3}{4}}\right)$ 下降。 $X J_1(X)$ 的最大值出現在 $X = 2.40$ 。在某一特定的振盪型，回路電導 G 有一個值使羣聚參數在穩定振盪時於調諧範圍的中點達到以上所指出的值。而回路電導大於或小於此值（負載較重或較輕）時所得到的振盪功率就較小。

因為電子流和諧振腔中有損耗，並非全部獲得的功率都給予負載。有用功率的百分數決定於諧振腔的效率，它等於負載電導值與回路總電導之比。其餘部分的功率則消耗在諧振腔壁與電子流中。

振盪頻率和反射板電壓很容易量得。因為在一定的振盪

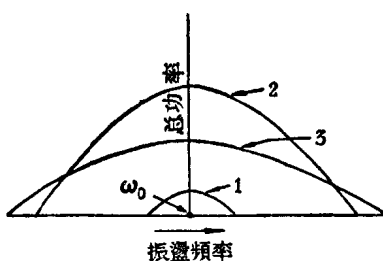


圖 1.5 電子調諧時功率的變化

1.2 与 3一大，中，小負載

型時，在功率和頻率間存在着單值的相互關係，故功率經常是頻率的函數。在圖 I·5 上繪出了這一關係的曲線。在諧振頻率 ω_0 時，在大負載 (b 接近于 a , $X < 2.40$) 或在小負載時 (b 接近于原點, $X > 2.40$) 的功率均小於最大值。零功率點之間的頻寬在負載愈小時愈大。

隙縫渡越角 因為隙縫渡越角 θ_1 為有限量 (不可忽略)，因此隙縫電壓在產生羣聚時並不全部有效，而且羣聚電流對諧振腔的激勵也不是全部有效。第一個現象可用在電子穿過隙縫時電場發生了變化來解釋。因此有效的平均值小於最大值。第二個現象仍然是由於電子穿過隙縫的渡越時間是有限的才使交變電流部分地相互抵消所引起的。每個現象都由電子相互作用系數

$$M = \sin \frac{\left(\frac{\theta_1}{2}\right)}{\left(\frac{\theta_1}{2}\right)}$$

所決定。由於第一個現象的作用才在羣聚參數之中引進了系數 M 。此外隙縫渡越角還有一個附加的影響，因為對羣聚有效的相角應該從隙縫中點算起。因此，如 $\theta_3 = \omega t_3$, t_3 為電子在反射空間消耗的平均時間。那麼相角 θ 應該等於 $\theta_1 + \theta_3$ ，因此電子從隙縫中心走出再返回的時間，增加了兩項，每項都等於 $\frac{t_1}{2}$ 即電子渡越隙縫時間之半。在羣聚參數里引入的渡越角也受到電子渡越隙縫時間的影響，但是方式不同。在直線性的反射場中，這一個叫作羣聚有效渡越角的 θ_e 等於 θ_3 減去隙縫渡越角，即 $\theta_e = -\theta_1 + \theta_3$ 。

出現負號是因為：由於電子速度調制在隙縫中時間 t_1 期間的羣聚過程的效應與在無場空間相似。而在無場空間的羣聚作用與在反射場空間的羣聚作用是相反的。在小訊號導納表示式中引入的因素就是這一羣聚有效角 θ_e 。在(1)式中它以 θ 表示，這是因為 (在線性反射場情況下) $\theta_1 = 0$ 。

考慮到由隙縫渡越角所引起的上述變化，就得到 $X = \frac{\theta_e M U}{2 U_0}$ 。

而电子导納則为

$$Y_e = \frac{G_0}{2} M^2 \frac{2J_1(X)}{X} j\theta_e e^{-j\theta} \quad (2a)$$

$G_{ne} = M^2 \theta_{ne} \frac{G_0}{2}$, 这里 $\theta_{ne} = \theta_n - 2\omega_0 t_1$ 为在 n 次振盪型中心的 θ_e 值, G_{ne} 等于小信号时在振盪区域中心电子电导的負值。

在一定振盪型时能获得的最大可能总功率与电子在隙縫的渡越角的关系可用因子 $\frac{\theta}{\theta_e}$ 表示其第一次近似值, 因为最佳羣聚参数之值不变。与假定隙縫渡越角为零时相比, 現在最佳羣聚参数值發生在 G 小 $\frac{M^2 \theta_e}{\theta}$ 倍, 而 U 大 $\frac{\theta}{M \theta_e}$ 倍的时候。因为总功率等于 $\frac{1}{2} GU^2$, 因此它的最大值增至 $\frac{\theta}{\theta_e}$ 倍。但應該指出, 速調管的結構并不时常能得到 G 的最佳值。

2. 反射速調管的高型振盪理論

对速調管, 其中包括反射速調管, 可以进行足够准确的理論分析, 是因为几何形狀簡單, 电流密度小, 而电子在隙縫中的速度大。电子运动的軌跡, 很接近于平行直綫。回路系統是由一个或几个諧振腔組成, 如果不考虑耦合裝置, 則具有高度的軸对称。諧振腔上通过电子的隙縫, 其距离和孔的直徑比較起来总是很小的。当在每个諧振腔的主振盪型时, 隙縫電場通常是沿管軸的方向而且在空間為恒定振幅。由于电流密度小和电子速度大, 空間电荷給电子流的影响通常可忽略不計。在速度为零的地方如在反射速調管的反射空間, 空間电荷的作用可引起散射和去聚而影响渡越时间。在不同工作情况下以不同的程度發生着这类效应, 并定量地給电子工作以影响。就定性方面而言, 它們很少显著地改变管內过程的特点。由于电子的速度很大, 电子流中速度的热零散对管的工作的影响也不显著。

本节叙述反射速調管的初步理論, 这一理論基于下述假設: 即隙縫電場和反射電場的空間分布是恒定的; 这一理論在高次振盪型

的誤差最小。在低次振盪型 (n 小时)，在电子导納中引进的不同的修正項具有重要的意义(它們包括額外的因素 $\frac{1}{\theta_e}$)。此外，在低次振盪型，为了羣聚，隙縫电压振幅值有时变得如此大，以致有些电子在返回隙縫中时被停止于其中。这一較复杂的情况在高次振盪型时不發生，因为在参数 X 中羣聚角值很大使在隙縫电压小时就可能得最佳羣聚。

电子导納 因为隙縫电压是表示式 $-jUe^{j\omega t}$ 的实数部分，因此在这一情况下电子导納可写成

$$Y_e = \frac{G}{2} M^2 \frac{2J_1(X)}{X} j\theta_e e^{-j\theta} \quad (26)$$

这里 $G = \frac{kI_0}{U_0}$ 为返回隙縫的电子流电导； k 为在总电子流中返回部分的百分数。

自激振盪的条件 为了得到稳定振盪，在隙縫上量得的总导納應該等于零。回路导納 Y 是在隙縫处三个导納分量之和，即負載导納 Y_n ，諧振腔导納 Y_p 和电子流导納 Y_{ea} 。这样，得到振盪的条件是使

$$Y_n + Y_p + Y_{ea} + Y_e = 0$$

而回路导納

$$Y = Y_n + Y_p + Y_{ea} = G_n + G_{ea,p} + 2jC(\omega - \omega_0)$$

这里 G_n 为負載电导， $G_{ea,p} = G_{ea} + G_p$ 为电子負載和諧振腔的电导， C 为有效电容， ω_0 为在区域中心的即当 $\theta = \theta_n = 2\pi(n + \frac{3}{4})$ 时的振盪頻率。在不同振盪型中取出某一个来研究时，相角的量測以从此区域中心点量起为宜，为此引进符号 $\theta = \theta_n + \varphi$ 。在引进这一新符号并分开实数和虛数部分，就得到振盪所需的条件，以下二式表之

$$\left. \begin{aligned} G &= \frac{G_0}{2} M^2 \theta_e \frac{2J_1(X)}{X} \cos \varphi \\ 2C(\omega - \omega_0) &= -\frac{G_0}{2} M^2 \theta_e \frac{2J_1(X)}{X} \sin \varphi \end{aligned} \right\} \quad (3)$$

这里 $G = G_n + G_{\theta, l, p}$ 为谐振腔的总电导。

可用上述两个方程决定隙缝电压和振盪频率。将 φ 看作这样一个参量，它的值位于调谐振的范围内，并由它计算 X 与 ω 。如果用第一式除第二式，就得到

$$\frac{\omega_0 - \omega}{\omega_0} = \frac{1}{2Q} \operatorname{tg} \varphi \quad (4)$$

这里 $Q = \omega_0 \frac{C}{G}$ 是谐振腔的负载品质因素。按 θ 与 θ_e 的定义 $\theta_e = \theta_n - 2\theta_1 + \varphi$ 。在振盪区域中心的羣聚角之值 $\theta_{ne} = \theta_n - 2\omega_0 \tau_1$ 。在区域中心，小讯号的电导值的负数 $G_{ne} = \theta_{ne} M^2 \frac{G_0}{2}$ 。引进电导参数 $\gamma = \frac{G}{G_{ne}}$ ，则第一式取下述形式

$$\gamma = \frac{2J_1(X)}{X} \cos \varphi \quad (5)$$

在这式里我們把比值 $\frac{\theta_e}{\theta_{ne}}$ 看作等于 1，因为在高次振盪型时这一比值与 φ 的关系可以忽略。

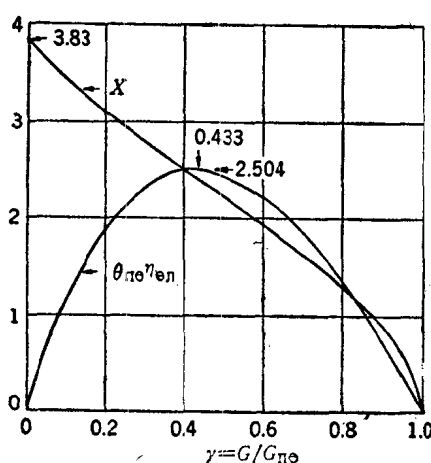


圖 I·6 在振盪区域中心时羣聚参数和总电子效率与电导参数的函数关系
 $G_{ne} = \theta_{ne} M^2 G_0 / 2$ $\theta_{ne} = 2\pi \left(n + \frac{3}{4} \right) - 2\omega_0 \tau_1$
 $n = 1, 2, 3, \dots$ $\theta_{ne} = \gamma X^2 = 2X J_1(X)$

为了在一定的振盪型要产生稳定振盪，必須使此型的电导参数小于 1，这一条件在本章的第一节中叙述过，并且指出要維持稳定振盪，必須使在此振盪型的小信号电导值大于谐振腔的电导。当 $\varphi = 0$ 时，羣聚参数对电导参数的函数关系表示于圖 I·6 的曲线上。

啓振电流 如果應該以电流 I_0 而工作的电子管，当反射极电压調整在某一振盪型的振盪区域的中心时，开始以冷陰極接上，那么在与

通过的电流成比例的 G_{ne} 不大于 G 时，振盪不会發生。逐步提高陰極的溫度使电流增加， G_{ne} 就也增加，只有在 G_{ne} 大于 G 时，才可能振盪。 G 愈大，啓振电流愈大，換句話說， Q 愈小（這是 G 愈大的結果）啓振电流愈大。啓振电流与工作电流之比为 $\frac{2J_1(X)}{X}$ ，而在一定的电导值时，此比值决定于 I_0 。

效率与输出功率 全部振盪功率值与輸出功率值分別为 $\frac{1}{2}GU^2$ 与 $\frac{1}{2}G_nU^2$ 。电子效率 η_{el} 和总效率 η 由下述方程决定

$$\eta_{\text{el}} = \frac{GU^2}{2kI_0U_0} \quad \text{与} \quad \eta = \frac{G_nU^2}{2kI_0U_0} \quad (6)$$

在本节与第 5 节中效率 η 的定义是以返回隙縫的电子流来下的。 η 的表示式可重新写出如下

$$\begin{aligned} \eta_{\text{el}} &= \frac{\gamma X}{\theta_{ne}} = \frac{2XJ_1(X)}{\theta_e} \cos\varphi; \quad \eta = \frac{\gamma_n X^2}{\theta_{ne}} = \\ &= \frac{G_n}{G_n + G_{\text{el}, p}} \cdot \frac{2XJ_1(X)}{\theta_{ne}} \cos\varphi \end{aligned} \quad (7)$$

这里以 $\frac{1}{\theta_{ne}}$ 代替了 $\frac{\theta_{ne}}{\theta_e^2}$ ，而 $\gamma_n = \frac{G_n}{G_{ne}}$ 是負載的电导参数。在区域的中心，关系式 $\theta_{ne}\eta_{\text{el}} = 2XJ_1(X)$ 得到滿足，它的曲綫表示在圖 I · 6 上。这一乘积的最大值在 $X = 2.40$ 时出現，这是在得到最佳能量变换的羣聚参数的最佳值。在这一点 $\gamma = 0.433$ ，而 $2XJ_1(X) = 2.504$ 。因为这一数值对所有的振盪型均一样，因此总电子效率之最大值从一个振盪型变为另一个振盪型时按 $\frac{1}{\theta_{ne}}$ 而变化，或近似地按 $\frac{1}{2\pi} \left(n + \frac{3}{4} \right)$ 而变化。这一效率是不大的，因为即使在 $n = 2$ 时， $\left(\frac{\theta_{ne}}{\theta_n} \right) \cdot \eta_{\text{el}}$ 的最大值等于 0.144。

檢驗 $\frac{U}{U_0} < \frac{1}{2}$ 的假設是有意义的。這一假設保證沒有电子会在隙縫中停止。因为 $\theta_e M^2$ 小于区域中心的 θ_n ，而 $\frac{U}{U_0} > \frac{2X}{\theta_n}$ 。当

$X = 2.4$ 、而 $n=0, 1, 2$ 时 比值 $\frac{2X}{\theta_n}$ 之值分别为 $1.02; 0.44; 0.278$ 。因此在最大能量变换的情况下，在零型时上述假設毫無疑問已被破坏。当 $X = 3.83$ 时，能量的变换为零；当 $n=0, 1, 2$ 时，比值 $\frac{2X}{\theta_n}$ 分别为 $1.62; 0.442$ 。因此我們的假設，对最低的两个型而言是被破坏了。由此看到，仅仅由于这个原因本节的理論对最低兩型很少有意义，除非 $X < 2.4$ 。这一点在运用公式和曲綫时必須加以注意。但为了完整起見，对 n 的低值和高值均將給出曲綫，虽然这些曲綫只是在高次型时才在一定程度是可信的。

通常內电导（諧振腔电导和电子流电导）是不易調整的。变换成为負載能量具有重要意义，而变更負載能量时可变化負載的电导。

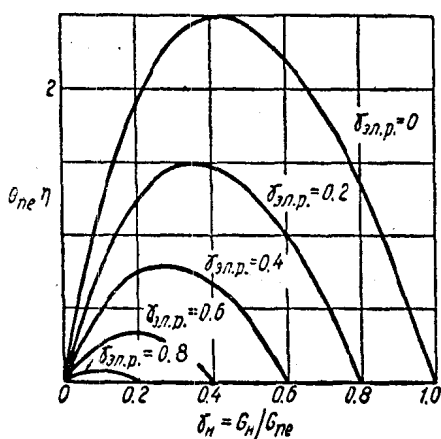


圖 I·7 五个不同的內电导参数时在振盪区域中心点的效率与負載参数的关系

$$\gamma_{\vartheta, l, p} = \gamma_{\vartheta, l} + \gamma_p = \frac{(G_{\vartheta, l} + G_p)}{G_{ne}}$$

因为按現在的簡化理論，变更縫間电压时相角不变，即相角不隨 X 而变，那么負載变化时，速調管原来在振盪区域中心点仍然在該中心点。圖 I·7 上，給出了 $\varphi=0$ 时，对于一系列固定的內电导参数 $\gamma_{\vartheta, l, p}$ 之值的 $\theta_{ne}\eta$ 乘积。

很容易証明，在最大輸出功率时

$$\begin{aligned} \gamma_h &= J_2(X), \\ \gamma_{\vartheta, l, p} &= J_0(X) \quad (8) \end{aligned}$$

在圖 I·8 上 γ_h , γ , 与表示諧振腔效率比值的 $\frac{\gamma_h}{\gamma}$ 均作为 $\gamma_{\vartheta, l, p}$ 的函数繪出，并且 γ_h 如此选择，使得在上述 $\gamma_{\vartheta, l, p}$ 时，在輸出端給出最大功率。輸出功率的最佳条件自然是內电导参数愈小愈好，因为此时內部消耗为最小。在内部消耗增大时，諧振腔的效率迅速降